

I-10 長手方向にヒニシ結合された矢板構造の

応力解析について一 軸力を考慮した場合

北大工学部 正員 能町純雄
北島工業大学 同 大島俊之
北島道明建築コレクション 同 ○佐藤 隆

1. まえがき

鋼管杭による打音基礎等の矢板構造は最近、橋脚などで多く用いられるが、構造や变形の複雑さから、理論的に解析するのが難しいものが多い。¹⁾

本論文は、文献1)の手法を応用、改良して、実際の構造状況に近づけた解説を論ずる。即ち、ヒニシは钢管の直徑の両端についているものとし、また板頭はコンクリート座板と一体となることであり、平面保持のまま変形するものと仮定する。

基本式は、ヒニシ桌をアーチ状に取りながら、総分差分方程式として求め、杭の軸方向にアーチ変換平面上で和分変換して、解く。本論文では水平力による曲げと回転による軸ひずみを考慮する。

2. 解説

1) 節点力と節点変位

$$g_{n,r+1} = \frac{S_r}{2} - T_r \quad (1), \quad g_{n+1,r} = \frac{S_r}{2} + T_r \quad (2)$$

$$T_r = \frac{GJ}{4a^2} (U_{r+1}^{uu} - U_r^{uu}) \quad (3) \quad \text{左左ル } U = \frac{\partial u}{\partial x}$$

$$S_r = \frac{1}{2} EI (U_{r+1}^{uu} + U_r^{uu}) + \frac{ka}{2} (U_{r+1} + U_r) \quad (4)$$

$$P_r = EI U_{r+\frac{1}{2}}^{uu} + ka U_{r+\frac{1}{2}} \quad (5)$$

左左ル $k = \text{地盤反力係数 (kg/cm}^3\text{)}$

故に

$$g_{n,r+1} = \frac{1}{4} EI (U_{r+1}^{uu} + U_r^{uu}) + \frac{1}{2} ka (U_{r+1} + U_r) - \frac{GJ}{4a^2} (U_{r+1}^{uu} - U_r^{uu}) \quad (6)$$

$$g_{n+1,r} = \frac{1}{4} EI (U_r^{uu} + U_{r-1}^{uu}) + \frac{1}{2} ka (U_r + U_{r-1}) + \frac{GJ}{4a^2} (U_r^{uu} - U_{r-1}^{uu}) \quad (7)$$

$$P_{r-1} = EI U_{r-\frac{1}{2}}^{uu} + ka U_{r-\frac{1}{2}} \quad (8)$$

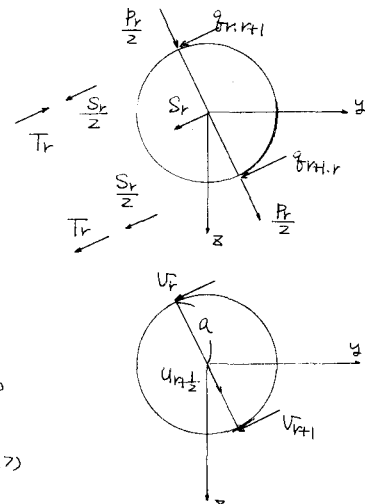


図.1 節点力と節点変位

2) 節点角変位

$$(g_{n,r+1} + g_{n+1,r}) \cos \alpha + \frac{1}{2} (P_r - P_{r-1}) \sin \alpha = 0 \quad (9)$$

$$-(g_{n,r+1} - g_{n+1,r}) \sin \alpha + \frac{1}{2} (P_r + P_{r-1}) \cos \alpha = 0 \quad (10)$$

(5), (6), (7), (8) 式を代入して

$$U_{r+\frac{1}{2}}(x) = \sum_{i=1}^{n-1} U_i(x) \sin \frac{2\pi i}{n} (r + \frac{1}{2}) \quad (11)$$

$$V_r(x) = \sum_{i=1}^{n-1} V_i(x) \cos \frac{2\pi i}{n} r \quad (12)$$

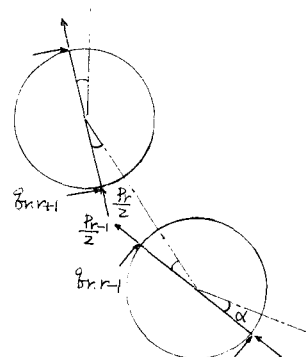


図.2 節点角変位

$$\frac{1}{2}EI \cos\alpha (1 + \cos \frac{2\pi i}{n}) \bar{V}_i(x) + ka \cos\alpha (1 + \cos \frac{2\pi i}{n}) \bar{V}_i(x) + \frac{GJ}{2a^2} \cos\alpha (1 - \cos \frac{2\pi i}{n}) \bar{V}_i(x) \\ + \frac{1}{2}EI \sin\alpha \cdot \sin \frac{\pi i}{n} \bar{U}_i(x) + ka \sin\alpha \cdot \sin \frac{\pi i}{n} \bar{U}_i(x) = 0 \quad (13)$$

$$\frac{1}{2}EI \sin\alpha \cdot \sin \frac{2\pi i}{n} \bar{V}_i(x) + ka \sin\alpha \cdot \sin \frac{2\pi i}{n} \bar{V}_i(x) - \frac{GJ}{2a^2} \sin\alpha \sin \frac{2\pi i}{n} \bar{V}_i(x) \\ + \frac{1}{2}EI \cos\alpha \cos \frac{\pi i}{n} \bar{U}_i(x) + ka \cos\alpha \cos \frac{\pi i}{n} \bar{U}_i(x) = 0 \quad (14)$$

\Rightarrow 2本の式を有限差分法で解く。 $\bar{V}_i(x)$, $\bar{U}_i(x)$ は以下で解き、 $\bar{U}_i(x)$ を逐次換する。次の図に用ひ式を示す。

$$\bar{U}_i(x) = - \frac{z l^2}{b_{10} \pi^8} [R_1(z) \bar{V}_i(l) + R_1(1-z) \bar{V}_i(0) + R_2(z) \bar{U}_i(l) + R_2(1-z) \bar{U}_i(0) \\ - R_3(1-z) \bar{V}_i(0) - R_4(1-z) \bar{U}_i(0)] \quad (15)$$

$$\bar{V}_i(x) = - \frac{z l^2}{c_{10} \pi^8} [S_1(z) \bar{V}_i(l) + S_1(1-z) \bar{V}_i(0) + S_2(z) \bar{U}_i(l) + S_2(1-z) \bar{U}_i(0) \\ - S_3(1-z) \bar{V}_i(0) - S_4(1-z) \bar{U}_i(0)] \quad (16)$$

ここで $\bar{U}_i(x) = \int_0^l \bar{U}_i(x) \sin \frac{m\pi x}{l}$, $\bar{V}_i(x) = \int_0^l \bar{V}_i(x) \sin \frac{m\pi x}{l}$, $z = \frac{x}{l}$, b_{10} , c_{10} は定数である。 m は固有振動数である。 $R_i(z)$, $S_i(z)$ は部分固有振動数に分けた係数である。式で示す。

3) 境界条件: $x=l$ (杭先) で $\bar{U}_i(l)=\bar{V}_i(l)=0$ の条件は (45), (46) 式で $x=0$

1度微分して得られる。 $x=0$ (杭頭) で a 鋼管柱か a が直角には水平方向各杭に等しく作用する θ と τ 。

$$\frac{1}{2}EI \cos\alpha (1 + \cos \frac{2\pi i}{n}) \bar{V}_i(0) + \frac{GJ}{2a^2} \cos\alpha (1 - \cos \frac{2\pi i}{n}) \bar{V}_i(0) \\ + \frac{1}{2}EI \sin\alpha \sin \frac{\pi i}{n} \bar{U}_i(0) = C_i[\bar{P}_r] \quad (17)$$

$$\frac{1}{2}EI \sin\alpha \sin \frac{2\pi i}{n} \bar{V}_i(0) - \frac{GJ}{2a^2} \sin\alpha \sin \frac{2\pi i}{n} \bar{V}_i(0) \\ + \frac{1}{2}EI \cos\alpha \cos \frac{\pi i}{n} \bar{U}_i(0) = S_i[\bar{P}_r] \quad (18)$$

左端 $C_i[\bar{P}_r]$, $S_i[\bar{P}_r]$ は水平力 H の値を置換したもの。

杭頭 θ 方向の回転を θ とする。

$$\theta = \frac{-\sum H_i^*(r_{1/2}, 0) \sin \frac{2\pi i}{n} (r_{1/2}) - \frac{1}{2} \sum [H_1^*(r_{1/2}, 0) + H_2^*(r_{1/2}, 0)] \cos \frac{2\pi i}{n}}{\sum A_1^*(r_{1/2}, 0) \sin \frac{2\pi i}{n} (r_{1/2}) + \frac{1}{2} \sum [A_1^*(r_{1/2}, 0) + A_2^*(r_{1/2}, 0)] \cos \frac{2\pi i}{n} + A_3^* \sum \sin \frac{2\pi i}{n} (r_{1/2})} \quad (19)$$

左端 H_1^* , H_2^* は H の値を取る。

A_1^* , A_2^* は境界値を取る式の θ の係数。 $A_3^* = \frac{4\pi}{rl}$ 。

t : 鋼管厚, r : 鋼管の半径, l : 鋼管の長さ。

3. 手元。

数値計算例は解説の都合上省略するが、当月発表する予定である。解説も端折りであるので各自参考してほしい。各種構造・理論的解析の一助になれば幸いである。

参考文献。

- 能町, 松岡, 沢田: 鋼管ハーベル基礎の応力解 枝井: 1972 工木学会北海道支部研究発表会論文集 (昭46年度) 第28号。
- 能町, 松岡, 沢田: 矩形・側方不安定構造解 枝井: 1972 工木学会北海道支部研究発表会論文集 (昭47年度) 第29号。

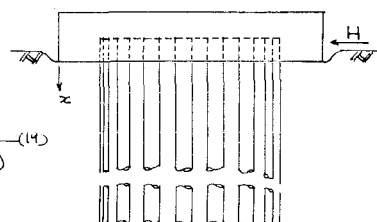
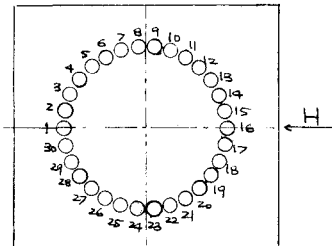


図.3 鋼管管状基礎